

## Hydroxyapatite Coatings for NiTi Implants

V. Khalili <sup>1\*</sup>, J. Khalil Allafi <sup>2</sup>, H. Maleki Ghal'e <sup>3</sup>

<sup>1</sup> Ph.D Student, Research Center for Advanced Materials and Mineral Processing, Faculty of Materials Engineering, Sahand University of Technology, Tabriz, Iran, vida.khalili@gmail.com

<sup>2</sup> Associate Professor, Research Center for Advanced Materials and Mineral Processing, Faculty of Materials Engineering, Tabriz, Iran, Allafi@sut.ac.ir

<sup>3</sup>M.Sc, Research Center for Advanced Materials and Mineral Processing, Faculty of Materials Engineering, Tabriz, Iran, H\_maleki@sut.ac.ir

---

### Abstract

NiTi shape memory alloy cannot provide all the clinical requirements of an implant due to the high nickel content and bio-inert surface. Thus, its surface is coated by bio-ceramics such as hydroxyapatite (HA) in different methods in order to improve biocompatibility and bioactivity. In the present study, a bio-active coating of HA using electrophoretic deposition technique was created on the surface of NiTi alloy to act as a barrier and prevent the diffusion of nickel ions in to the body fluid. A suspension was prepared by n-butanol as solvent and triethylenamine as dispersant. Coatings were deposited at different voltage of 40, 60 and 80 V for duration of 120s on the cathode. Then coated samples were sintered at 800 °C under argon atmosphere for 2 hrs. Evaluation of coatings was performed by X-ray diffraction techniques (XRD), scanning electron microscope (SEM) and energy dispersive X-ray spectroscopy (EDX). Bioactivity and corrosion behavior of HA coatings was studied within simulated body fluid (SBF) environment. The results showed, the sample coated at 60 V is dense, uniform, owing proper corrosion resistant, and also the ability for nucleation and growth of apatite layer in SBF.

**Key words:** NiTi shape memory, electrophoretic, hydroxyapatite, simulated body fluid.

---

\*Corresponding author

Address: Research Center for Advanced Materials and Mineral Processing, Faculty of Materials Engineering, Sahand University of Technology, P.O.Box: 51335-1996, I.R. Iran, Tabriz, I.R. Iran  
Tel: +98411345 9454  
Fax: +98411344 4333  
E-mail: vida.khalili@gmail.com

## پوشش زیست فعال هیدروکسی آپاتیت بر روی کاشتنی NiTi

ویدا خلیلی<sup>۱\*</sup>، جعفر خلیل علافی<sup>۲</sup>، حسین ملکی قلعه<sup>۳</sup>

<sup>۱</sup>دانشجوی دکتری مهندسی مواد، مرکز تحقیقات مواد پیشرفته و فرآوری مواد معدنی، دانشکده مهندسی مواد، دانشگاه صنعتی سهند، تبریز، ایران

<sup>۲</sup>دانشیار، مرکز تحقیقات مواد پیشرفته و فرآوری مواد معدنی، دانشکده مهندسی مواد، دانشگاه صنعتی سهند، تبریز، ایران  
Allafi@sut.ac.ir

<sup>۳</sup>دانش آموخته کارشناسی ارشد مهندسی شناسایی و انتخاب مواد مهندسی، مرکز تحقیقات مواد پیشرفته و فرآوری مواد معدنی، دانشکده مهندسی مواد، دانشگاه صنعتی سهند، تبریز، ایران H\_maleki@sut.ac.ir

### چکیده

آلیاژ حافظه دار NiTi به علت مقدار نیکل بالای موجود در آن و سطح زیست خشی نمی تواند همه نیازهای بالینی کاشتنی را تأمین کند. بنابراین به منظور افزایش زیست سازگاری و زیست فعالی، سطح این آلیاژها اغلب با زیست موادی نظیر هیدروکسی آپاتیت با استفاده از روش های مختلفی پوشش دهی می شود. در پژوهش حاضر برای دست یابی به یک پوشش زیست فعال و سدی در برابر آزادسازی یون نیکل، از روش الکتروفورتیک برای ایجاد پوشش هیدروکسی آپاتیت استفاده شد. محلول سوسپانسیون مورد استفاده  $n$ -بوتanol و تری اتانول آمین بود. عملیات رسوب گذاری در پتانسیل های ۴۰، ۶۰ و ۸۰ ولت در مدت زمان ۱۲۰ ثانیه بر روی کاتد انجام شد. نمونه ها در دمای اتاق به مدت ۲۴ ساعت خشک شدند؛ سپس عملیات تف جوشی به مدت ۲ ساعت در کوره تحت اتمسفر آرگون در دمای  $800^{\circ}$  انجام شد. پوشش ایجاد شده با تکنیک های پراش پرتو ایکس (XRD)، میکروسکوپ الکترونی روبشی (SEM)، طیف سنجی توزیع انرژی پرتو ایکس (EDX) ارزیابی، و رفتار زیست فعالی و خوردگی نمونه ها در محلول شبیه سازی بدن (SBF) بررسی شد. نتایج نشان می دهند که پوشش HA ایجاد شده در ۶۰ ولت، متراکم و یکنواخت بوده؛ قابلیت ایجاد و رشد لایه آپاتیتی را در محیط SBF دارد.

کلیدواژگان: آلیاژ حافظه دار NiTi، الکتروفورتیک، محیط شبیه سازی بدن، هیدروکسی آپاتیت.

\*عهده دار مکاتبات

نشانی: تبریز، دانشگاه صنعتی سهند، دانشکده مهندسی مواد، مرکز تحقیقات مواد پیشرفته و فرآوری مواد معدنی، کد پستی: ۱۹۹۶-۵۷۳۳۵  
تلفن: ۰۴۱۱-۳۴۴۴۳۳۳، ۰۴۱۱-۳۴۵۹۵۵۴، دورنگار: vida.khalili@gmail.com

## ۱- مقدمه

بافت سخت، پیوند استخوانی تشکیل می‌دهد. همچنین پوشش HA همچون سدی بین کاشتني فلزی و محیط سیال بدن عمل می‌کند [۱]. روش‌های مختلفی برای پوشش دهی HA بر روی کاشتني‌های فلزی بکار می‌رود که عبارتند از: پلاسمما اسپری، سل-ژل، لیزر، همانندسازی شده زیستی، کند و پاش مگترونی و پوشش دهی الکتروفورتیک<sup>۱</sup> (EPD). مزایای روش EPD در مقایسه با سایر روش‌های پوشش دهی سادگی آن، کنترل ضخامت، یکنواختی پوشش، دمای پایین فرایند، پایین بودن هزینه تجهیزات، پوشش دهی زیرلایه با شکل‌های گوناگون و پیچیده، خلوص زیاد رسوب‌گذاری و عدم تغییر فاز طی فرایند پوشش دهی است [۶,۵]. روش EPD ترکیب دو فرایند «الکتروفورز» و «رسوب‌گذاری» است. الکتروفورز به حرکت ذرات باردار در یک سوسپانسیون و تحت تأثیر میدان الکتریکی اطلاق می‌شود و رسوب‌گذاری، انعقاد و تبدیل ذرات به یک جرم متراکم است [۷]. پس از معرفی روش EPD توسط دوچین [۸] در سال ۱۹۸۵، پوشش برای ایجاد HA بر روی کاشتني‌های فلزی، مقالات متعددی در زمینه بررسی ساختار، شرایط بهینه پوشش دهی، استحکام چسبندگی پوشش دهی به زیرلایه، شرایط تفجوشی و ایجاد پوشش‌های EPD چاپ شده است [۱۵-۹]. هدف این پژوهش، دست‌یابی به پوشش زیست‌فعالی است که همچون سدی در مقابل نفوذ یون‌های فلزی از سطح NiTi به محیط شبیه‌سازی شده بدن عمل می‌کند.

## ۲- مواد و روش تحقیق

### ۲-۱- مواد

پودر استفاده شده برای این تحقیق، HA طبیعی بود؛ به طوری که برای تهیه پودر، ابتدا استخوان کورتیکال قلم گاو در هوا با شعله در محدوده دمایی ۳۰۰ تا ۴۰۰ درجه سانتیگراد سوزانده شد. سپس پودر سیاه حاصل در کورهای با دمای ۸۰۰ درجه سانتیگراد در اتمسفر هوا به مدت ۲ ساعت با فرایند عملیات

کاشتني‌های پوشش داده شده با هیدروکسی آپاتیت<sup>۲</sup> (HA) بطرور گستردۀ در زمینه ارتوپدی و دندانپزشکی بکار می‌رond [۱]. از سال ۱۹۷۰ آلیاژ حافظه دار NiTi به دلیل ویژگی‌هایی همچون سوپر الاستیسیته، مقاومت در برابر خوردگی و خستگی مناسب، زیست‌سازگاری خوب و مدول الاستیک نسبتاً پایین برای کاربردهای ارتوپدی پژوهشکی مطرح شده‌اند [۳,۲]. مقایسه آلیاژ NiTi با سایر آلیاژ‌هایی که بصورت کاشتني در بدن استفاده می‌شود، نشان می‌دهد که فولاد زنگ نزن، تیتانیوم و آلیاژ‌های آن از نظر ویژگی‌های مکانیکی در مقایسه با مواد بیولوژیک مانند HA بسیار سخت هستند؛ در حالی که NiTi رفتاری مشابه با مواد بیولوژیک از نظر خواص مکانیکی دارد. این تشابه فیزیولوژیکی سبب توزیع مناسب بار در کاشتني و بافت اطراف آن می‌شود؛ در نتیجه رشد استخوان و درمان آن را تسريع می‌بخشد. آلیاژ NiTi از نظر رفتار مکانیکی دو ویژگی مشترک با مواد زیستی طبیعی مانند استخوان دارد: اول اینکه کرنش الاستیک NiTi بیش از ۸ درصد باشد و در نتیجه بیشتر از کرنش الاستیک بافت استخوانی (۲ درصد) است؛ در حالی که کرنش الاستیک در فولاد زنگ نزن حدود ۰/۸ درصد است. دوم اینکه مدول الاستیسیته NiTi نزدیک به مدول الاستیسیته استخوان کورتیکال (کمتر از ۲۰ GPa) است، در حالی که مدول الاستیسیته آلیاژ‌های تیتانیوم ۱۱۰ GPa، فولادهای زنگ نزن ۲۱۰ GPa و آلیاژ آستانیتی بصورت بالک ۴۸ GPa است [۴]. با وجود این زیست سازگاری NiTi بدلیل میزان نیکل بالا و متعاقباً آزاد شدن یون  $Ni^{+3}$  از سطح NiTi و واکنش این یون‌ها در اطراف بافت بدن، نگرانی بسیاری را به همراه دارد. از سوی دیگر یکنواختی فصل مشترک بین استخوان و کاشتني در کاشتني‌های دائم بسیار مهم است [۴]. این مشکل را می‌توان با سرامیک‌های زیستی مانند کلسیم فسفات‌ها، بخصوص HA برطرف کرد. HA بدلیل زیست سازگاری عالی و زیست‌فعالی زیاد، پس از جراحی در بدن با

<sup>1</sup>Hydroxyapatite

<sup>2</sup>Electrophoretic Deposition

سانتیگراد بر ثانیه انتخاب شد و پس از تف جوشی در دمای ۸۰ درجه سانتیگراد نمونه‌ها تحت محیط گاز خنثی در کوره سرد شدند.

#### ۴-۲- مشخصه‌های پس از فرایند تف‌جوشی

پس از فرایند تف‌جوشی، برای تعیین خلوص فازی پودر HA و پوشش‌های HA بر روی زیر لایه از دستگاه XRD نوع D8-Advance ساخت شرکت Bruker کشور آلمان استفاده شد. به منظور بررسی مورفولوژی سطحی پوشش HA پس از تف-جوشی نیز از میکروسکوپ الکترونی روبشی<sup>۴</sup> (SEM) مدل Cam Cam Vega Tescan Scan MV2200 ساخت شرکت Scan MV2200 استفاده شد. برای جلوگیری از باردار شدن سطح نمونه‌ها و به علت هدایت الکتریکی کم پوشش‌ها، ابتدا آنها با لایه بسیار نازکی از طلا پوشش داده شدند. بعلاوه تحلیل عنصری نیز با استفاده از EDX انجام شد.

#### ۵-۲- ارزیابی رفتار خوردگی و زیست فعالی

رفتار خوردگی نمونه بدون پوشش NiTi و نمونه پوشش داده در ۶۰ ولت با استفاده از آزمون پلاریزاسیون رسم ت AFL شده در ۶۰ ولت با استفاده از آزمون پلاریزاسیون رسم ت AFL ارزیابی شد. برای انجام این آزمون یک پیل الکتروشیمیایی تهیه شد، به طوری که در آن الکترودکاری نمونه آزمایشی، الکترود کمکی پلاتین و الکترود مرجع نقره/کلرید نقره (Ag /AgCl) بود. محلول سرم فیزیولوژیک موسوم به محلول رینگر با ترکیب CaCl<sub>2</sub>H<sub>2</sub>O ۰.۳۳ g/lit NaCl ۸/۶ g/lit KCl ۰.۳۳ g/lit در دمای C ۳۷±۱ در میان الکتروولیت استفاده شد<sup>[۱۷]</sup>. پتانسیل خوردگی و چگالی جریان خوردگی به روش برون‌یابی خطی ت AFL منحنی‌های پلاریزاسیون پتانسیوبدینامیکی محاسبه شدند.

برای ارزیابی زیست فعالی نمونه پوشش داده شده در ۶۰ ولت از مایع شبیه‌سازی شده بدن انسان<sup>۵</sup> (SBF) استفاده شد. ترکیب این محلول - که Kokubo آنرا شرح داده است<sup>[۱۸]</sup> - ترکیب یونی مشابه پلاسمای خون انسان دارد. نمونه‌ها به مدت ۷ روز در SBF و در دمای C ۳۷ در غوطه‌ور شدند. به منظور

حرارتی به پودر کریستالی سفید HA تبدیل شد. پس از آن عملیات ریزکردن پودر در آسیاب گلوله‌ای به مدت ۲ ساعت انجام شد<sup>[۱۶]</sup>. در این پژوهش آلیاژ NiTi ۸٪/۵۰٪ درصد اتمی Ni به عنوان زیر لایه بکار برده شد.

#### ۲-۲- تهیه سوپسپانسیون و رسوب‌گذاری

سوپسپانسیون با افزودن ۴ گرم پودر هیدروکسی‌آپاتیت به ۵۰ میلی لیتر n-بوتanol تهیه شد. پراکنده‌ساز بکار برده شده، تری اتانول آمین<sup>۳</sup> (TEA) بود که به میزان ۱۶ میلی لیتر در لیتر به سوپسپانسیون اضافه شد. به منظور پراکنده‌سازی ذرات جامد، سوپسپانسون ۳۰ دقیقه بر روی همزن مغناطیسی و ۳۰ دقیقه پراکنده‌ساز اولتراسونیک قرار گرفت. قبل هر مرحله رسوب‌گذاری، سوپسپانسیون به مدت ۱۰ دقیقه روی همزن مغناطیسی قرار داده می‌شد تا از تهشیش شدن ذرات جلوگیری شود. سطح نمونه‌ها پس از سمباده‌زنی تا مش ۸۰۰ نیم ساعت به ترتیب در استون، الکل و داخل حمام اولتراسونیک، چربی‌زدایی شدند و پس از آن با آب مقطر شستشو داده؛ در هوا خشک شدند.

سلول الکتروفورتیک نیز با استفاده از بشر ۱۵۰ میلی لیتر مجهر به نگهدارنده (برای ثابت نگه داشتن موقعیت الکترودها)، گرافیت با ابعاد ۱۰×۲۰×۳۰ میلیمتر به عنوان آند و نمونه NiTi با سطح مقطع ۱ سانتیمتر مربع به عنوان کاتد آماده شد. فاصله بین الکترودها حدود ۱ سانتی متر تنظیم شد. پتانسیل‌های ثابت ۶۰، ۴۰ و ۸۰ ولت در مدت ۱۲۰ ثانیه با یک منبع تغذیه اعمال شدند و پس از رسوب‌گذاری، نمونه‌ها در یک دسیکاتور به مدت ۲۴ ساعت خشک شدند.

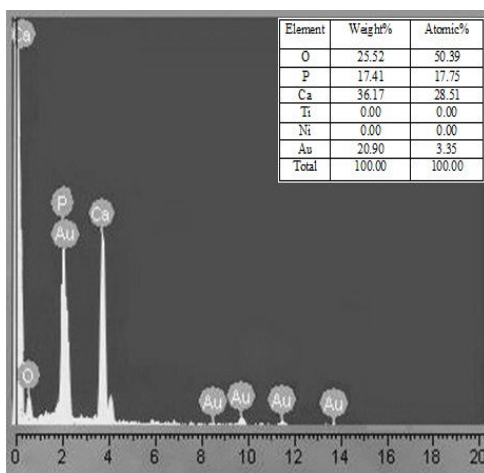
#### ۳-۲- تف‌جوشی

به منظور افزایش میزان چسبندگی، تراکم و کاهش تخلخل پوشش تر، نمونه‌های پوشش داده شده پس از اینکه به مدت ۲۴ ساعت در دمای اتاق خشک شدند، در یک کوره تیوبی تحت اتمسفر گاز خنثی (آرگون) در دمای ۸۰۰ درجه سانتیگراد به مدت ۱ ساعت تف‌جوشی شدند. نرخ گرمایش ۲ درجه

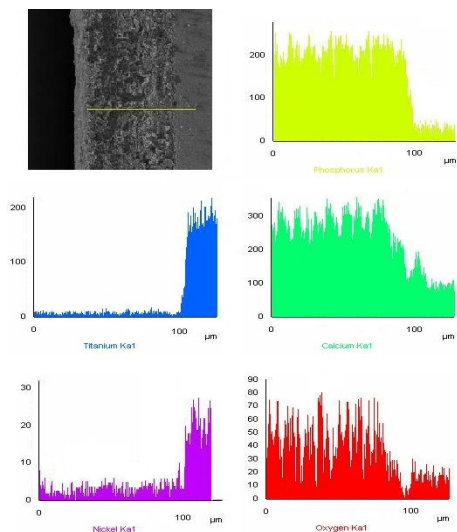
<sup>۳</sup>Triethylenamine

<sup>۴</sup>Scanning Electron Microscopy

<sup>۵</sup>Simulated body fluid



شکل (۲)- تحلیل عنصری از سطح نمونه پوشش داده شده در ولتاژ ۶۰ ولت پس از عملیات تفجیشی



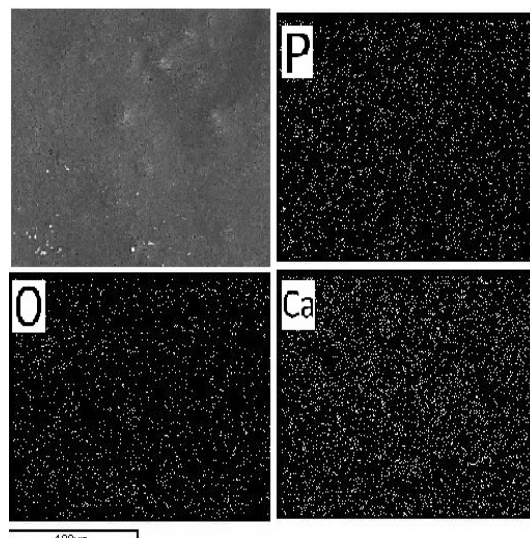
شکل (۳)- تحلیل عنصری از سطح مقطع نمونه پوشش داده شده در ولتاژ ۶۰ ولت.

همانطور که در شکل (۳) نشان داده شده است، نفوذ عناصر فلزی  $Ti$  و  $Ni$  تا محدوده ۱۰ میکرونی پوشش از سطح زیر لایه وجود دارد و در بیش از ۱۰ میکرون تنها اتم‌های  $O$ ,  $Ca$ ,  $P$ ,  $Ti$ ,  $Ni$  و  $O$  حضور دارند؛ لذا در سطح پوشش  $HA$  عناصر  $Ni$  و  $Ti$  وجود ندارند. به عبارتی پوشش  $HA$  همچون سدی در برابر نفوذ عناصر فلزی زیر لایه به محیط بدن عمل می‌کند [۲۱] و در نهایت مانع از مشکلات حساسیتی ناشی از آزاد شدن یون‌های فلزی می‌شود.

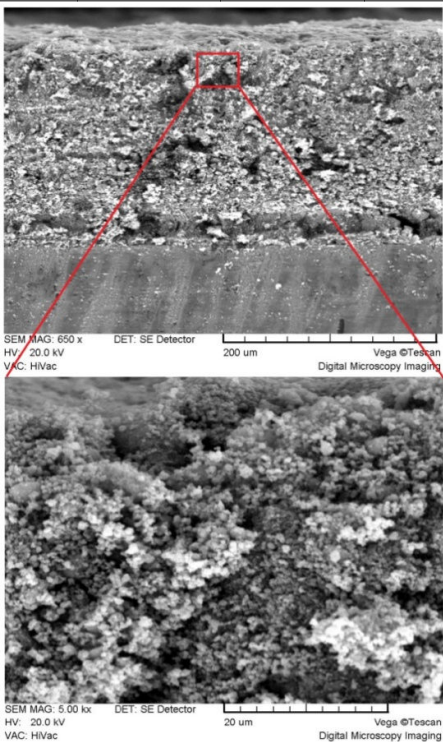
بررسی تشکیل لایه آپاتیت به روی پوشش  $HA$  از سطح نمونه‌ها با SEM عکسبرداری شد.

### ۳- نتایج و بحث

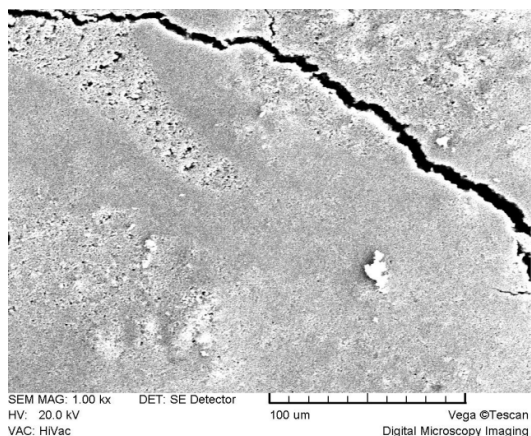
تحلیل  $EDX$  نمونه  $NiTi$  پوشش داده شده در ۶۰ ولت در شکل‌های ۱، ۲ و ۳ نشان داده شده است. نمودار تحلیل سطحی<sup>۶</sup> عناصر کلسیم، فسفر و اکسیژن نمونه‌حاوی پوشش در شکل (۱) نشان داده شده است. در این شکل نقاط سفید رنگ نشان‌دهنده میزان حضور عنصر نام برده در سطح پوشش است. البته بدليل موجود نبودن عناصر نیکل و تیتانیوم در سطح پوشش، تحلیل سطحی آنها آورده نشده است. این مطلب در شکل (۲) با تحلیل عنصری از سطح پوشش تأیید می‌شود. شکل (۳) طیف غلظتی عناصر  $O$ ,  $P$ ,  $Ti$ ,  $Ni$ ,  $O$  از سطح مقطع نمونه پوشش داده شده پس از عملیات تفجیشی را نشان می‌دهد. همانطور که جاروب الکترونی این عناصر نشان می‌دهد، در محدوده فصل مشترک عناصر زیر لایه در پوشش  $HA$  و بالعکس عناصر تشکیل‌دهنده  $HA$  در زیر لایه نفوذ کرده‌اند، که نشان‌دهنده وجود پیوند شیمیایی بین زیر لایه و پوشش است [۱۹]. این پیوند در فصل مشترک موجب اتصال محکم پوشش به زیر لایه می‌شود [۲۰].



شکل (۱)- نقشه تحلیل سطحی از سطح نمونه پوشش داده شده در ولتاژ ۶۰ ولت پس از عملیات تفجیشی.



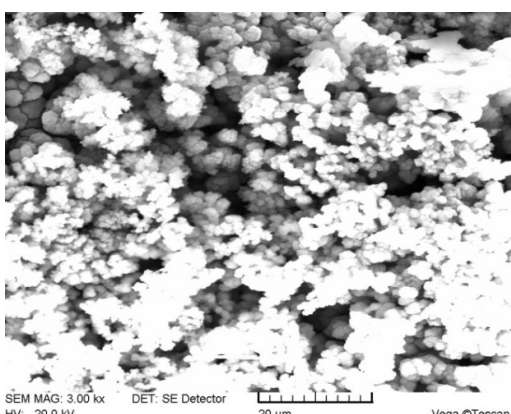
شکل (۴)- تصویر میکروسکوپی از سطح مقطع نمونه پوشش داده شده در ۶۰ ولت.



شکل (۵)- پوشش HA بر روی NiTi در ۸۰ ولت پس از عملیات تفجoshi.

پتانسیل خوردگی نمونه  $NiTi$  پوشش داده شده با  $HA$  در محلول رینگر در مقایسه با نمونه  $NiTi$  بدون پوشش حدود ۳۵۲ میلی ولت مثبت‌تر است. با توجه به جدول (۱) و شکل (۶) می‌توان دریافت که  $NiTi$  بدون پوشش، چگالی جریان خوردگی بیشتری را در محلول رینگر نشان می‌دهد. منحنی پلاریزاسیون (۲) در شکل (۶) که متعلق به  $NiTi$  پوشش دار است، در مقایسه با

شکل (۴) سطح مقطع نمونه پوشش داده شده در ۶۰ ولت را نشان می‌دهد. همانطور که در بزرگنمایی بیشتر دیده می‌شود، پوشش از تراکم مناسبی برخوردار است. تراکم پوشش به عواملی مانند شرایط سوسپانسیون از نظر پایداری و شرایط فیزیکی پوشش‌دهی همچون ولتاژ اعمالی در فرایند رسوب‌گذاری بستگی دارد. هر چه سوسپانسیون پایدارتر باشد، آگلومره شدن و تهشیین ذرات در سوسپانسیون کمتر شده؛ در نتیجه پوشش یکنواخت‌تری در سطح زیرلایه ایجاد خواهد شد[۵]. ولتاژ اعمالی نیز در واقع تعیین‌کننده میزان نیروی اعمال شده به ذرات سوسپانسیون است. هر چه میزان ولتاژ بیشتر باشد، نیروی الکتروفورتیکی که به ذرات وارد می‌شود نیز افزایش می‌یابد؛ در نتیجه ذرات با سرعت بیشتری به سطح پوشش برخورد می‌کنند و بنابراین پوشش متراکم‌تر می‌شود. از طرفی با افزایش میزان ولتاژ اعمال شده، حضور هیدروژن در کاتد و به دنبال آن میزان تخلخل و یا به عبارتی تعداد حفرات موجود در پوشش، افزایش می‌یابد[۲۲]. افزایش میزان تخلخل سبب پدید آمدن ترک در پوشش حین فرایند تفجoshi می‌شود (شکل (۵)). بنابراین بایستی ولتاژ اعمال شده در محدوده‌ای بهینه انتخاب می‌شود که در این کار پژوهشی، ۶۰ ولت انتخاب شد. منحنی‌های پلاریزاسیون به روش رسم تافل برای نمونه‌های بدون پوشش و پوشش داده شده با  $HA$  در الکتروولیت رینگر بدست آمدند. این نمودارها در شکل (۶) نشان داده شده‌اند. در آزمون‌های خوردگی  $icorr$  به عنوان برآورده از سرعت خوردگی بررسی می‌شود، ازین‌رو پس از رسم نمودارهای پلاریزاسیون و محاسبه شب تافل از منحنی‌های فوق می‌توان  $Ecorr$   $icorr$  را محاسبه و خواص خوردگی را بررسی کرد. چگالی جریان خوردگی نمونه‌های مختلف به کمک روش برون‌یابی تافل و از منحنی‌های پلاریزاسیون (شکل (۶)) مشخص شد. این نتایج همراه پتانسیل‌های خوردگی، در جدول (۱) آورده شده است.

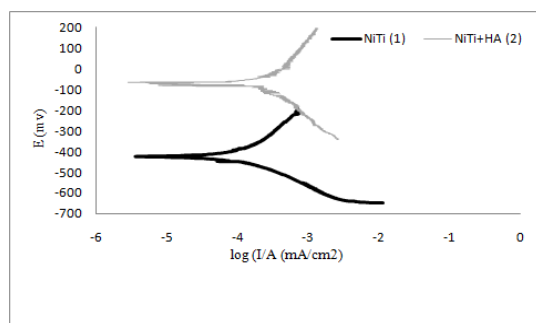


شکل (۷)- تصویر میکروسکوپی الکترونی از لایه زیست فعال تشکیل شده بر روی پوشش HA در محیط SBF به مدت هفت روز.

با تشکیل پوشش زیست فعال HA بر زیر لایه فلزی *NiTi* علاوه بر بهبود مقاومت خوردگی و کاهش آزاد شدن یون های فلزی و متعاقباً جلوگیری از مشکلات حساسیتی در بدن، می توان به بهبود شرایط ترمیم استخوان و پیوند آن با کاشتنی فلزی دست یافت.

#### ۴- نتیجه گیری

نفوذ یون های فلزی از زیر لایه به پوشش و بالعکس، در فصل مشترک زیر لایه و پوشش موجب پیوند شیمیایی بین زیر لایه و پوشش می شود. این پدیده نیز موجب اتصال محکم پوشش به زیر لایه در فصل مشترک می شود. پوشش HA ایجاد شده در ۶۰ ولت، یک پوشش متراکم، یکنواخت و بدون ترک است. از طرفی، پوشش HA بر روی *NiTi* موجب افزایش مقاومت خوردگی *NiTi* در محیط شبیه سازی بدن می شود. علاوه بر این پوشش HA حاصل از EPD پوششی زیست فعال است و قابلیت ایجاد و رشد لایه آپاتیت را در محیط SBF دارد.



شکل (۶)- نمودارهای پلاریزاسیون کاتدی و آندی (۱) *NiTi* (۲) *NiTi+HA* پوشش داده شده با HA در ۶۰ ولت.

جدول (۱)- نتایج عددی به دست آمده از آزمون پلاریزاسیون.

NiTi+HA	NiTi	نمونه
۳۱۳/۱۹	۲۶۳/۰۱	$b_a$ (mV/Decade)
۲۳۸/۳۴	۱۴۷/۱۶	$b_c$ (mV/Decade)-
-۷۲	-۴۲۴	$E_{corr}$ (mV)
$۷۳۶۲E^{-5}$	$۱/۴۳E^{-4}$	$i_{corr}$ (mA/cm <sup>2</sup> )
۹۲/۴۹۲	۲۸۷/۵۸۳	$R_p$ (kΩ.cm <sup>2</sup> )

منحنی (۱)- که متعلق به نمونه بدون پوشش است- به سمت بالا و چپ منتقل شده است. نتایج پژوهش حاضر نشان داد که پوشش HA اثر مطلوبی بر مقاومت خوردگی زیر لایه فلزی داشته و چگالی جریان خوردگی زیر لایه *NiTi* را نیز تا اندازه ای کاهش داده است. این نتیجه همچنین به معنای افزایش مقاومت خوردگی کاشتنی و متعاقباً آن کاهش آزاد شدن یون های فلزات و آثار مخرب آنها بر بافت های بدن انسان است [۲۳].

شکل (V) تصویر SEM از لایه زیست فعالی را نشان می دهد که بر روی پوشش HA ۶۰ ولت پس از غوطه وری در محلول SBF به مدت هفت روز تشکیل شده است. با بررسی تصاویر مشاهده می شود که پوشش قابلیت رشد و ایجاد لایه زیست فعال را در محیط فوق دارد و سطح پوشش مانعی در برابر رشد سلولها نبوده است.

## ۵- مراجع

- [16] M. E. Bahrololoom, M. Javidi, S. Javadpour and J. Ma, Characterisation of natural hydroxyapatite extracted from bovine cortical bone ash; *J Ceram Process Res*, 2009; 10: 129-138.
- [17] F. Sun, K.N. Sask, J.L. Brash, I. Zhitomirsky, Surface modifications of Nitinol for biomedical applications; *Colloids Surf B: Biointer*, 2008; 67: 132-139.
- [18] A. Oyane, H. Kim, T. Furuya, T. Kokubo, T. Miyazaki, T. Nakamura; Preparation and assessment of revised simulated body fluids; *Inc J Biomed Mater Res*, 2002; 65(A): 188-195.
- [19] M. Wei, A. J. Ruys, M. V. Swain, B. K. Milthorpe, C. C. Sorrell, Hydroxyapatite-coated metals: Interfacial reactions during sintering; *J Mater Sci: Mater Med*, 2005; 16: 101- 106.
- [20] C. Ergun, R.H. Doremus, W.A. Lanford, Interface reaction/diffusion in hydroxylapatite-coated SS316L and CoCrMo alloys; *Acta Mater*, 2004; 52: 4767-4772.
- [21] P. Ducheyne, K. E. Healy, The effect of plasma-sprayed calcium phosphate ceramic coatings on the metal ion release from porous titanium and cobalt-chromium alloys; *J Biomed Mater Res*, 1988; 22: 1137-1163.
- [22] I. Zhitomirsky, Electrophoretic deposition of hydroxyapatite; *J Mater Sci: Mater Med*, 1997; 8: 213- 219.
- [23] M. Metikos, A. Kwokal, J. Piljac, The influence of niobium and vanadium on passivity of titanium-bases implants in physiological solution; *Biomaterials*, 2003; 24: 3765-3775.
- [1] W. Donnley, J.Callaghan, Hydroxyapatite coating in the adult hip; *LippincottRaven pub*, 1998; 1041-1054.
- [2] L. S. Castleman, S. Motzkin, F. P. Alicandri, V. L. Bonawit, J. Biomed, Biocompatibility of Nitinol Alloy as anImplant Material; *MATEK. RES*, 1976; 10: 695-731.
- [3] A.R. Pelton, D. Stockel, T. W. Duerig, Medical Uses of Nitinol; *Mater Sci Forum*, 2000; 327-328:63-70.
- [4] C. Greiner , S. M. Oppenheimer, D. C. Dunand , High strength, low stiffness, porous NiTi with superelastic properties; *Acta Biomate*, 2005; 1:705-716.
- [5] X. Feng Xiao, R. F. Liu, Effect of suspension stability on electrophoretic deposition of hydroxyapatite coatings; *Mater Lett*, 2006; 60:2627-2632.
- [6] M. Javidi, S. Javadpour, M.E. Bahrololoom, J. Ma, Electrophoretic deposition of natural hydroxyapatite on medical grade 316L stainless steel; *Mater Sci Eng C*, 2008; 28: 1509-1513.
- [7] P. Sarker, P. S. Nicholson, Electrophoretic Deposition (EPD): Mechanism, Kinetics, and Application to ceramics; *JAm CeramSoc*, 1996; 79: 1987-2002.
- [8] P.Ducheyne, W.Van Raemdonc, J. C.Heughebaer, M.Heughebaer, Structural analysis of hydroxyapatite coatings on titanium; *Biomaterials*, 1986; 7: 97-103.
- [9] X.Pang, T.Casagrande, I.Zhitomirsky, Electrophoretic deposition of hydroxyapatite-CaSiO<sub>3</sub>-chitosan composite coatings; *J Colloid Interface Sci* 2009; 330: 323-239.
- [10] K.Grandfield, F.Sun, M.F. Patrick, M.Cheong, I.Zhitomirsky, Electrophoretic deposition of polymer-carbon nanotube-hydroxyapatite composites; *Surf Coat Technol*, 2009; 203: 1481-1487.
- [11] X.Feng.juan, Z.Ying, Y.Li-jiang, Electrophoretic deposition of titanium/silicon-substituted hydroxyapatite composite coating and its interaction with bovine serum albumin; *Trans Nonferrous Met Sco China*, 2009; 19: 125-130.
- [12] Y.Bai, M.Prasad-Neupane, I.Song-Park, M.Ho-Lee, T.Sung-Bae, F.Watari, M.Uo, Electrophoretic deposition of carbon nanotubes-hydroxyapatite nanocomposites on titanium substrate; *Mater Sci Eng C*, 2010; 30: 1043-1049.
- [13] J. C.Huang, Y. J.Ni, Z. C.Wang, Preparation of hydroxyapatite functionally gradient coating on titanium substrateusing a combination of electrophoretic deposition and reaction bonding process; *Surf Coat Technol*, 2010; 204: 3387-3392.
- [14] M.Mihailović, A.Patarić, Z.Gulišija, D.Veljović, D.Janačković, Electrophoretically deposited nanosized hydroxyapatite coatings on 316lvm stainless steel for orthopaedic implants; *Chem Ind Chem Eng Q*, 2011; 17: 45-52.
- [15] B.Zhang, C. T. Kwok, Hydroxyapatite-anatase-carbon nanotube nanocomposite coatings fabricated by electrophoretic codeposition for biomedical applications; *J Mater Sci: Mater Med*, 2011; 22: 2249-2259.